

# ارائه مدار عملی برای تولید دنباله کاملاً تصادفی

دکتر محمد دخیل علیان  
استاد یار دانشکده برق  
دانشگاه صنعتی اصفهان  
mdalian@yahoo.com

عباس هاشمی، ابراهیم احمدی  
دانشجویان کارشناسی مخابرات  
دانشکده مخابرات  
ahmadibeni@yahoo.com

## چکیده:

امروز با پیشرفت علوم و تکنولوژی ارتباط از طریق وسایل و امکانات مخابراتی به نحو چشمگیری افزایش یافته است. از این میان ارگانهایی نظیر سازمانهای نظامی، تجاری و دولتی بیشترین بهره‌وری را از این امکانات به عمل می‌آورند و بالطبع اطلاعات گرانبهایی از طریق شبکه‌های خود رد و بدل می‌نمایند. اما همواره خطر استراق سمع، دستکاری و مغشوش کردن اطلاعات توسط افراد سودجو این اطلاعات را تهدید می‌کند. لذا لزوم استفاده از روش‌هایی که امنیت اطلاعات را تضمین کنند به خوبی احساس می‌شود. در این مقاله روشی عملی جهت تولید یک رشته کاملاً تصادفی با مشخصات آماری مطلوب جهت استفاده به عنوان دنباله کلید اجرایی، یا فایل کلید در عملیات رمزنگاری معرفی شده است.

## کلمات کلیدی:

رمزنگاری - دنباله کلید اجرایی - نویز (noise) - چگالی طیف (spectral density) - مولد نویز (noise Gen) - کاملاً تصادفی

## ۱- مقدمه:

سیستمهای رمزنگاری شامل دو بخش رمزگذار و رمزگشا هستند. رمزگذار تبدیل اطلاعات موردنظر به یک متن رمز شده را به عهده دارد و رمزگشا تبدیل متن رمز شده به اطلاعات موردنظر را انجام می‌دهد. کارایی یک سیستم رمزنگاری به کلید رمز وابسته است که نقش اساسی را در امنیت

سیستم به عهده دارد. چرا که ساختار سیستمهای رمز برای همگان مشخص است و تنها کلید، بخش محرمانه است. بنابراین امنیت و اعتبار پیام وابسته به کلید می باشد [1].

هرچه دنباله کلید تصادفی تر جلوه کند مناسب تر می باشد. بنابراین اگر آنتروپی کلید حداکثر باشد، برای حدس کلید با ابهام حداکثر مواجه می باشیم. آنتروپی کلید موقعی حداکثر می گردد که بیتهای دنباله تولید شده دارای توزیع یکنواخت و مستقل از هم باشند. برای این منظور و آرایه یک روش عملی برای تولید چنین دنباله هایی در این مقاله چگونگی استخراج این دنباله ها از ادوات نیمه هادی تشریح شده است.

این مقاله در چهار بخش تهیه شده است. پس از مقدمه در بخش دوم، نویز سفید مورد بررسی قرار گرفته است. در بخش سوم در مورد تعدادی از منابع نویز موجود در المانهای اکتیو و پسیو به بحث پرداخته ایم و در پایان مولدهای نویز مورد استفاده در مدار عملی به همراه نتایج تستهای آماری روی دنباله تولید شده آورده شده است.

۵۵

## ۲- نویز سفید و نویز فیلتر شده [7]:

بسیاری از انواع منابع نویز توزیع آماری گاوسی دارند و در گستره وسیعی از حوزه فرکانس دارای چگالی طیفی تخت اند. تمام مؤلفه های فرکانسی در چنین طیفی مقدار یکسان دارند و از این رو در قیاس با نور سفید، نویز سفید نامیده می شود. چگالی طیفی نویز سفید عموماً بصورت زیر نوشته می شود:

$$G(f) = \frac{\eta}{2} \quad (1-1)$$

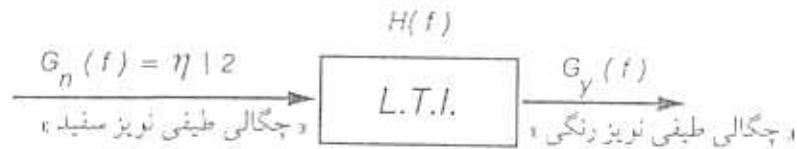
چگالی توان فرکانس مثبت نامیده می شود و به نوع منبع نویز و چگالی طیفی مربوطه بستگی دارد. تابع خود همبستگی به صورت زیر است:

$$R_y(\tau) = \int_{-\infty}^{+\infty} \frac{\eta}{2} e^{j\omega\tau} df \delta(\tau) = \frac{\eta}{2} \quad (1-2)$$

معادله بالا نشان می دهد که  $R(\tau \neq 0) = 0$  و بنابراین هر دو نمونه تصادف متفاوت از یک

سیگنال نویز سفید ناهمبسته هستند و با توجه به اینکه فرآیند گاوسی می باشد می توان نتیجه گرفت که نمونه های متفاوت مستقل نیز می باشند.

اگر نویز سفید به یک مدار L.T.I با تابع تبدیل  $H(f)$  مطابق شکل اعمال شود خروجی نویز سفید فیلتر خواهد بود که اصطلاحاً نویز رنگی نامیده می شود.



چگالی طیف نویز رنگی در خروجی مدار به صورت زیر است:

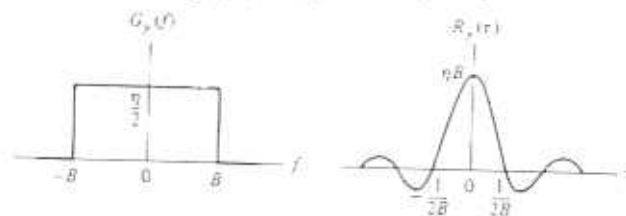
$$G_y(f) = |H(f)|^2 \cdot G_n(f) = \frac{\eta}{2} |H(f)|^2$$

با محاسبه تابع خود همبستگی خروجی داریم:

$$R_y(\tau) = \frac{\eta}{2} \cdot F \left[ |H(f)|^2 \right]$$

بنابراین مشاهده می شود که تابع خود همبستگی دارای مقادیر غیرصفر می باشد. به عبارت دیگر نمونه های تصادفی استخراج شده از نویز رنگی وابسته می باشند. بدیهی است که با افزایش  $\tau$  میزان همبستگی نمونه ها کاهش می یابد. بعنوان مثال اگر  $H(f)$  را یک فیلتر ایده آل پایین گذر با پهنای باند  $B$  در نظر بگیریم آن گاه تابع خود همبستگی به صورت زیر خواهد بود:

$$R_y(\tau) = \eta B \text{sinc}(2B\tau)$$



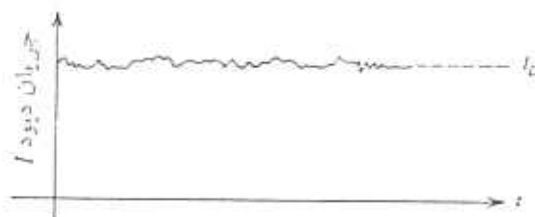
همانطور که در شکل دیده می شود با افزایش  $\tau$  تابع خود همبستگی به سمت صفر میل می کند. اگر  $\tau$  به اندازه کافی بزرگ در نظر گرفته شود می توان با تقریب خوبی تابع خود همبستگی را صفر در نظر گرفت. در عمل با انتخاب  $\tau$  برابر  $\frac{10}{B}$  تقریب بسیار خوبی خواهیم داشت.

بنابراین جهت تولید نمونه های مستقل باید پهنای باند نویز مورد توجه قرار گیرد. اگر نویز سفید باشد نمونه برداری با هر فرکانسی نمونه های تصادفی مستقل بدست می دهد. در صورتی که جهت داشتن نمونه های مستقل از نویز رنگی باید فرکانس نمونه برداری مورد توجه قرار گیرد.

### ۳- منابع نویز:

#### الف- نویز ضربه‌ای: (shot noise)

نویز ضربه‌ای به علت طبیعت گسسته جریان حاملهای بار بوده و در اغلب المانهای فعال مانند ترانزیستورهای دو قطبی و دیودها مشاهده می‌شود. این نویز به علت عبور تصادفی حاملهای بار از یک شکاف انرژی تولید می‌شود. در یک دیود حاملهای بار به طور تصادفی از کاند تشعشع می‌شوند و تعداد این حاملها دارای تغییرات آماری از لحظه‌ای به لحظه دیگر می‌باشد. عبور هر حامل از پیوند پدیده‌ای کاملاً تصادفی است و بستگی به این دارد که حامل انرژی کافی و سرعتی به سوی پیوند داشته باشد [6]. بنابراین جریان خارجی که جریان ثابتی به نظر می‌رسد در واقع از تعداد فراوانی پالسهای جریان مستقل تشکیل شده است. اگر شکل جریان روی یک اسیلوسکوپ حساس مشاهده شود، شکلی مانند زیر خواهیم داشت که در آن  $I_D$  جریان میانگین است.



این نویز در  $I$  نویز ضربه‌ای نام دارد و عموماً برحسب متوسط مجذور تغییرات حول مقدار میانگین مشخص می‌شود که با  $\overline{I^2}$  نشان داده می‌شود. جهت محاسبه  $\overline{I^2}$  ابتدا جریان حاصل از عبور یک الکترون که با ماکزیمم سرعت  $V_{max}$  و در مدت  $\tau$  شکاف انرژی را طی می‌کند، محاسبه می‌گردد. اگر تعداد الکترونی که به صورت همزمان ساطع می‌گردند با  $n$  نمایش دهیم،  $n$  یک متغیر تصادفی با توزیع پواسن خواهد بود. بنابراین تابع خود همبستگی جریانهای ضربه‌ای عبارت است از:

$$\Gamma_I = M \left[ ni(t) ni(t + \tau) \right] \quad (1-2)$$

با محاسبه  $\Gamma_I$  و بدست آوردن طیف توان از روی آن به رابطه زیر می‌رسیم:

$$S(\omega) = \frac{1}{2\pi} \text{ql} \left[ 1 - \frac{(\omega t_f)^2}{18} + \dots \right] \quad (2-2)$$

مقدار متوسط مجذور جریان از روی رابطه اخير قابل محاسبه خواهد بود که برابر مقدار زیر

می باشد:

$$\overline{i^2} = S(f) \Delta f = 2\text{ql} \left[ 1 - \frac{(\omega t_f)^2}{18} + \dots \right] \Delta f = 2\text{ql} F_{ip}^2 \Delta f \quad (3-2)$$

که در آن  $F_{ip} \leq 1$  می باشد و فاکتوری است که به  $\omega t_f$  وابسته است [2]. با بررسی رابطه (2-2) به

این نتیجه می رسیم که در فرکانس های پائین  $S(\omega)$  ثابت است و به شکل پالس وابسته نیست. این بدان

معناست که طیف نویز ضربه ای به صورت نویز سفید در رنج فرکانسی وسیعی ملاحظه می شود.

### ب- فیلکر نویز: (Filker noise)

این نویز در تمام اجزاء فعال و نیز در برخی عناصر غیرفعال مثل مقاومت های ذغالی یافت

می شود. جهت دست یابی به دلیل فیزیکی این نویز آزمایش های زیادی انجام گرفته است و مدل های

شعددی ایجاد گشته است. مهمترین آنها مدل هایی هستند که بر پایه تغییرات دمایی و یا تغییر تحرک و

یا فرض شرایط سطحی آرام بنا شده اند. به عنوان مثال در ترانزیستورهای دو قطبی این نویز عمدتاً

بوسیله تله های ایجاد می شود که همراه ناهمگونیها و نقایص بلور در شکاف انرژی امیتر-بیس وجود

دارند. این تله ها حامل را به صورت تصادفی می گیرند و رها می کنند و تابتهای زمانی مربوطه به این

فرآیند سبب می شود که یک سیگنال نویزدار با انرژی متمرکز در فرکانس های

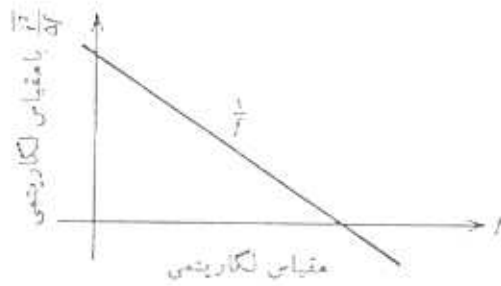
پایین حاصل شود. طیف توان این نویز به فرم زیر است: [2]

$$S(f) = \text{Const} \cdot \frac{1/f}{f/\alpha}$$

که در آن  $\alpha$  جریان DC قطعه،  $f$  فرکانس اندازه گیری،  $1/f$  ثابتی در گستره 0/5 تا 2 و  $\alpha$  نیز ثابتی در

محدوده 0/8 تا 1/3 می باشد. معمولاً  $\alpha$  در نظر گرفته می شود. بنابراین فیلکر نویز با فرکانس نسبت

معکوس دارد.



از مشخصات جالب فیلتر نویز می توان به موارد زیر اشاره کرد [2]:

۱- توزیع دامنه آن گوسی نیست.

۲- نمونه ها ناهمبسته نیستند.

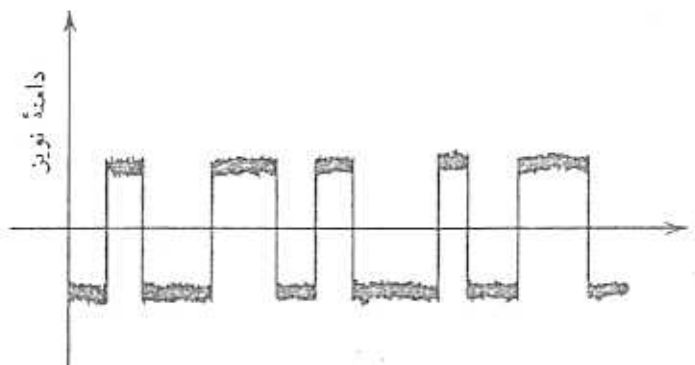
۳- فرآیند ایستاد نیست.

### ج - برست نویز: (Burst noise)

یک نوع پالس نویزی برست نویز نامیده می شود که در مقاومت های کربنی و یا اتصالات p-n

بایاس شده همچنین در مدارهای فشرده یا گسترده ترانزیستوری مشاهده می شود. این نویز مانند یک

سیگنال مربعی با تغییرات تصادفی ظاهر می شود و به انواع دیگر نویز اضافه می گردد. [6]



گاهی ممکن است به جای دو سطح، سه یا چهار سطح متمایز وجود داشته باشد. می توان نشان

داد میانگین مربع جریان برست نویز به فرم زیر است [6]:

$$\bar{i}^2 = K \frac{I_c^2}{1 + \left(\frac{f}{f_c}\right)^2} \Delta f$$

که در آن K ثابت مربوط به هر وسیله خاص است.

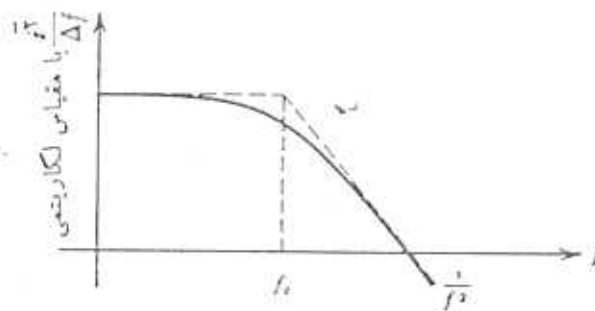
I جریان مستقیم است

$f_c$  ثابتی بین ۰/۵ تا ۲ است

و  $f_c$  فرکانس مخصوص به هر نوع فرآیند نویز است.

چگالی طیف در شکل زیر رسم شده است. مشاهده می‌گردد که در فرکانس‌های بالا طیف نویز به

صورت  $\frac{1}{f^2}$  افت می‌کند.



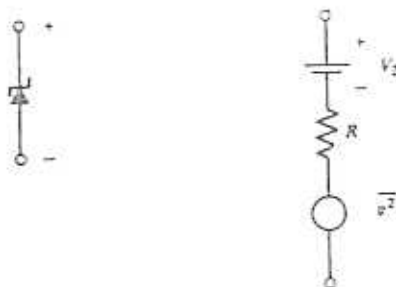
نویز بهمنی: (Avalanche noise)

این نویز در شکست زنری یا بهمنی یک پیوند p-n بوجود می‌آید. یک دایود بایاس معکوس دارای دو مکانیزم تولید نویز می‌باشد. آن مکانیزم‌ها زنر و بهمنی می‌باشند. در شکست بهمنی الکترون‌ها و حفره‌ها در ناحیه تخلیه پیوند p-n آنقدر شتاب می‌گیرند که انرژی آنها جهت تولید جفت‌های الکترون و حفره جدید کافی است. این جفت‌های جدید تحت میدان الکتریکی حاصل از ولتاژ بایاس معکوس شتاب می‌گیرند و جفت‌های الکترون - حفره بیشتری تولید می‌کنند. این فرآیند فزاینده است و منجر به تولید یک رشته تصادفی از جهشهای بزرگ نویز می‌شود. مقدار این نویز بسیار بزرگتر از نویز ضربه‌ای در همان جریان است. دلیل این امر این است که یک حامل در فرآیند بهمنی سبب تولید

حاملهای دیگری می شود و کل نویز برابر مجموع تعدادی تصادفی از این نوع حاملهاست. [2]

#### ۴- مدار عملی و نتایج:

همانطور که قبلاً اشاره شد هدف از انجام این پروژه تولید یک رشته کاملاً تصادفی است. این طرح بر پایه تولید رشته کاملاً تصادفی از یک مولد نویز بنا شده است. طبق مطالب بیان شده در بخش ۲ نمونه های استخراج شده از یک منبع نویز سفید مستقل می باشند. به دلیل پهنای باند محدود منابع نویز این کار در عمل ممکن نیست و ما بیشتر با نویز رنگی سروکار داریم. در بخش ۲ بیان شد که نمونه های استخراج شده از یک منبع نویز رنگی وابسته می باشند و این وابستگی در صورتی که فیلتر ایده آل باشد بصورت تابع سینک بیان شد. با توجه به شکل تابع سینک در صورتی که نمونه برداری با فرکانسی کمتر از پهنای باند نویز رنگی انجام گیرد می توان مطمئن بود که نمونه ها مستقل می باشند، زیرا  $\lim_{\tau \rightarrow \infty} R_y(\tau) = 0$  منابع نویز مورد استفاده در این طرح می تواند دیودزتر و یا ترانزیستور دو قطبی باشد. همانطور که در بخش ۳ اشاره شد، دیودهای زتر به علت تولید نویز بهمی می توانند به عنوان منبع نویز مورد توجه قرار گیرند. مدار معادل نویز یک دیودزتر به فرم زیر است:



که  $\bar{v}_z^2$  مولد ولتاژ نویز می باشد،  $V_z$  ولتاژ شکست دیود و مقاومت  $R$  نوعاً ۱۰ تا ۱۰۰ اهم است. پیشگویی اندازه  $\bar{v}_z^2$  دشوار است زیرا به ساختمان دیود و یکنواختی بلور آن بستگی دارد ولی مقدار نوعی اندازه گیری شده برابر  $\frac{\bar{v}_z^2}{H_z} \cong 10^{-14}$  در جریان  $0.5 \text{ mA}$  می باشد [6].

نویز ایجاد شده در مقاومت R در مقایسه با نویز بهمنی بسیار ناچیز است و در آن محو می شود.

همانطور که قبلاً اشاره شد چگالی طیف نویز بهمنی در گستره وسیعی بصورت یکنواخت می باشد.

پیوند بیس - امیتر در ترانزیستور دو قطبی هم می تواند به عنوان منبع نویز مورد توجه قرار گیرد.

همانطور که در بخش ۳ اشاره شد طبق رابطه (۳-۲) نویز ضربه‌ای با فلوی جریان در سد پتانسیل اسباب

نیمه هادی رابطه دارد. این اتصال دارای دو جزء جریان می باشد که در اثر حاملهای اکثریت و اقلیت

ایجاد می شوند. هر دوی این جریانه‌ها نویز ضربه‌ای ایجاد می کنند که با یکدیگر جمع می شوند. از طرف

دیگر تجربه نشان داده است که برست نویز و فیلکر نویز موجود در یک ترانزیستور را می توان با

مولدهای جریانی به موازات پیوند بیس - امیتر نشان داد. این مولدها به سادگی با نویز ضربه‌ای موجود

در جریان بیس ترکیب می شوند. چون این منابع نویز از مکانیزمهای فیزیکی مستقل و جداگانه‌ای ناشی

می شوند نسبت به یکدیگر مستقل هستند و مقدار متوسط مجذور آنها چنین است:

$$\bar{i}_b^2 = 2qI_B \Delta f + K_1 \frac{I_B^a}{f} \Delta f + K_2 \frac{I_B^c}{1 + \left(\frac{f}{f_c}\right)^2} \Delta f$$

$\downarrow$   
 برست نویز

$\downarrow$   
 نویز ضربه‌ای

$\downarrow$   
 فیلکر نویز

بر این اساس، رشته کاملاً تصادفی با نمونه برداری از یک منبع نویز تولید گردید. بدین منظور

پس از تقویت نویز عمل نمونه برداری توسط مدار S&H انجام گرفت. نمونه‌ها پس از دیجیتال شدن از

طریق پورت موازی کامپیوتر در یک فایل ذخیره شدند و فایل بدست آمده مورد تست قرار گرفت. جهت

بررسی خواص آماری مطلوب یک رشته باینری تستهای آماری متعددی وجود دارد. هدف از این تستها

بررسی سازگاری دنباله تولید شده توسط مولد تصادفی با یک مدل احتمال فرضی می باشد. آزمونهای

آماری معمولاً بر روی زیر دنباله‌های دنباله اصلی اعمال می شوند. زیرا هر زیر دنباله از دنباله کلید

اجرائی نیز باید کاملاً تصادفی جلوه نماید. آزمون‌ها معمولاً بر روی زیر دنباله‌های ۵۰۰ تا ۱۰۰۰ بیتی اعمال می‌شوند و در واقع تصادفی بودن آنها بصورت محلی مورد بررسی قرار می‌دهند. نتیجه تست‌های انجام شده بر روی دنباله‌های مختلف تولید شده توسط مدار موردنظر در پایان آورده شده است. جهت انجام تست‌ها نرم‌افزار آماری آرمان مورد استفاده قرار گرفته است.

## ۵- جمع‌بندی:

همانطور که مشاهده شد نتایج برای آزمون‌های آماری فرکانس، سریال، بوکر، گپها، و بلوک‌ها [۳] و تعداد رن‌ها و مشتقات باینری [۵] و سریال تعمیم یافته [۴] مطلوب بوده است در آزمون‌های فوق طول زیر دنباله ۲۵۰ بیت گرفته شده است.

در صورتی که الگوریتم‌های رمز ضعف داشته باشد سیستم ممکن است مورد حمله قرار گیرد. الگوریتم‌های متعددی تاکنون ابداع شده‌اند که پس از گذشت اندک زمانی از کاربرد آنها، تحلیل‌گران آنان را مورد ارزیابی قرار داده و نقاط ضعف الگوریتم‌ها را یافته‌اند. طراحان نیز به ناچار گونه‌های جدیدتری از الگوریتم‌ها را با نقطه ضعف‌های کمتری، ارائه داده‌اند. این حقیقت باعث شده است تا طراحان و تحلیل‌گران پایه‌پای یکدیگر در عرصه رمزنگاری رقابت نمایند و حاصل این رقابت رشد روز افزون این علم بوده است.

## منابع:

- ۱- دکتر محمد دخیل علیان، «ارزیابی دنباله‌های شبه تصادفی و طراحی مولدهای آشوبی»، رساله دکتری، دانشگاه صنعتی اصفهان، آبان ۱۳۷۷

- 2- Ambrozy , Andras : "Electronic noise" ; McGraw-Hill ; 1982
- 3- Beker H. and Peper F. , Cipher System : "The Protection of Communications" , Northwood Book , London , 1982
- 4- Kimbrelly M. , "Comparison of Two Statitilcal Test for Keystream Sequences" , Electronic letter, vol. 23 , No.8 , PP:365-366 . April 1987
- 5- Gustafson H. , Dawoson E. D. and Caell, B. , "Comparison of Black and stream Clipher" , Advances in Cryprologe , Springer - Verlag , AusCrypy , 90 , PP.208-219
- 6- Gray , Meyer ; "Analysis and Design of Analoy Integrated Circuits" , John wiley & Sons , 1984
- 7- A. B. Carlson , "Communication systems" , McGraw-Hill , 1986

Proportion Test:

Threshold: 3.8415

Test Name	Average	Chi2 Value	Result
Frequency	792.00	1.8947	Pass
Serial	792.00	1.8947	Pass
Number of Runs	793.00	0.8421	Pass
Modified Serial	795.00	0.0000	Pass
Gaps	796.00	0.2105	Pass
Blocks	795.00	0.0000	Pass
Binary Derivative	7100.00	5.2632	Pass
Poker	797.00	0.8421	Pass
Autocorrelation	793.00	0.8421	Pass
Linear Complexity Profile	796.00	0.2105	Pass

Kolmogorov-Smirnov Test:

Threshold: 1.2072

Test Name	KN+	KN-	Result
Frequency	0.3000	1.0291	Pass
Serial	0.3716	0.7558	Pass
Number of Runs	0.7555	0.4758	Pass
Modified Serial	0.3736	0.7720	Pass
Gaps	0.9226	0.6299	Pass
Blocks	0.4851	0.5683	Pass
Poker	0.5304	1.1010	Pass
Autocorrelation	1.1102	0.7881	Pass
Linear Complexity Profile	1.1244	0.1350	Pass